

УДК 629.7.015.4

Анализ конструктивно-технологических решений складных рулей с учетом требований аэроупругой устойчивости.

Неделин В.Г.

Аннотация: В статье представлена общая постановка и схема решения задачи анализа конструктивно-технологических решений складных рулей. Алгоритм решения основывается на зависимостях, представленных в работе [1], при этом он содержит ряд изменений, вызванных конструктивными особенностями рассматриваемого объекта.

Ключевые слова: эталонное теоретическое решение; математическая модель; анизотропная пластина; конструктивные особенности; собственные колебания; аэроупругость; флаттер; дивергенция.

Данная задача является составной частью более общей задачи структурно-параметрической оптимизации (СПО) несущей поверхности (НП), в процессе решения которой предполагается отыскание наилучшего конструктивно-технологического решения (КТР) путем его идентификации с эталонным теоретическим решением (ЭТР) с последующей параметрической оптимизацией. В работе [1] приведена схема решения задачи СПО для традиционной (нескладной) НП, которая предполагает использование модели анизотропной пластины для определения оптимальных законов распределения массовых и жесткостных характеристик с учетом ограничений прочности и аэроупругой устойчивости.

Очевидно, что складная НП обладает рядом конструктивных особенностей, которые должны быть учтены при формировании математической модели. Так для складной НП характерно наличие элементов стопорения и пружинного или торсионного механизма. Фиксация НП в рабочем положении осуществляется одним или несколькими стержнями (стопорами) по схеме на рис.1.

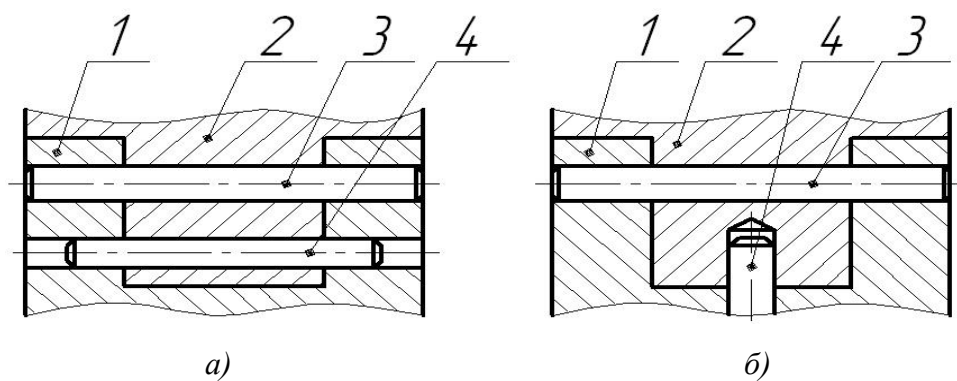


Рис.1 Варианты соединения вилки и лопатки руля
(1 – вилка; 2 – лопатка; 3 – ось лопатки; 4 – стопор)

Из-за различного расположения осей стопора 4 варианты а) и б) будут отличаться изгибной и крутильной жесткостями. Влияние типа механизма раскладки на свойства НП, находящейся в раскрытом положении, когда положение лопатки относительно вилки обеспечивается только за счет стопора, сводится к различиям в массе. Кроме того, из-за конструктивных особенностей, представленных на рис. 2, могут возникать дополнительные степени свободы лопатки относительно вилки.

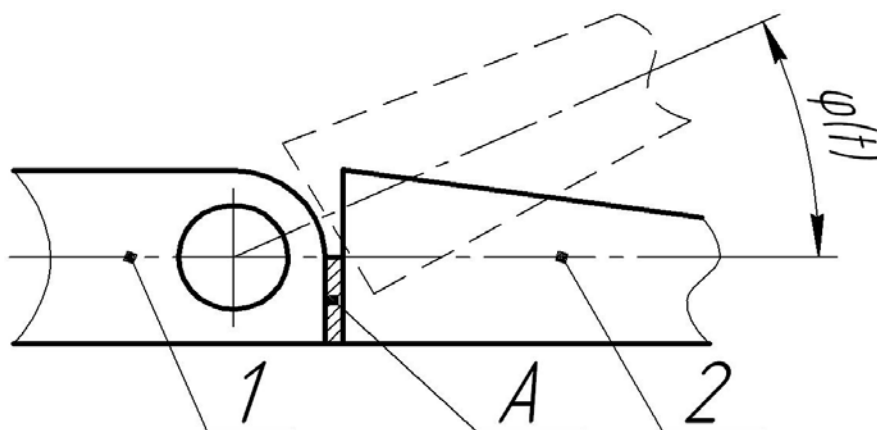


Рис.2 Дополнительные степени свободы лопатки НП
(1 – вилка; 2 – лопатка)

Лопатка 1 опирается на вилку 2 в зоне А, в идеальном случае (при отсутствии деформаций стопора, вилки, лопатки; зазоров) подобная конструкция обеспечит неподвижность лопатки относительно вилки, предполагается, что в реальной конструкции данное утверждение не выполняется, а, следовательно, при составлении математической модели необходимо учесть уменьшение жесткости НП в месте соединения. Предполагается, что жесткость соединения лопатки и вилки будет сопоставима с жесткостью крепления НП к корпусу летательного аппарата (ЛА). В случае подтверждения данного предположения

отличия характеристик аэроупругих колебаний складной НП от нескладной окажутся значительными.

На основании изложенного можно предложить два подхода к формированию математической модели НП: первый заключается в замене одной пластины парой пластин, соединение которых моделируется двумя пружинами (аналогично узлу крепления НП на рис.3); второй – в уменьшении жесткости единственной пластины в точках, лежащих на линии соединения лопатки с вилкой. С точки зрения простоты математической модели более предпочтительным является второй способ. Однако следует учесть, что значения жесткостей пружин K_φ и K_θ узла крепления НП определяются на основании эксперимента или назначаются исходя из сведений о прототипе, следовательно, определение подобных величин для соединения лопатки и вилки может оказаться затруднительным из-за недостатка данных на начальном этапе проектирования.

В обоих случаях (как в случае монолитной, так и в случае складной НП) предполагается использование метода конечных разностей, в соответствии с которым НП аппроксимируется сеточной областью с N узлами и для каждого узла соответствующие уравнения расписываются в конечных разностях, далее решается полученная система уравнений.

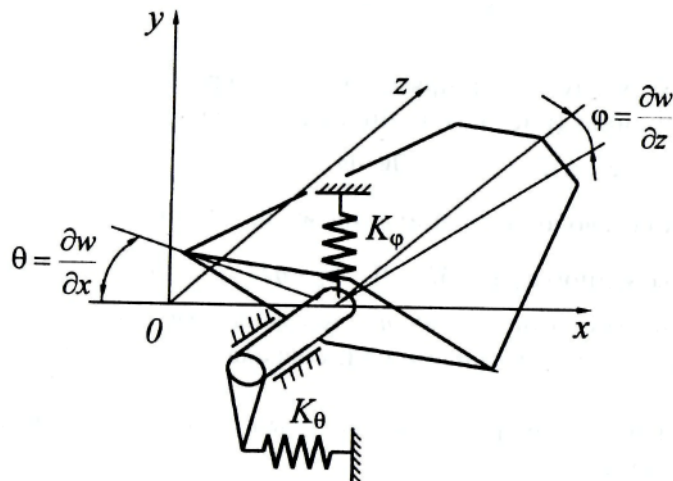


Рис.3 Моделирование узла крепления НП

Определение напряженно-деформированного состояния.

Уравнения равновесия для элемента анизотропной пластины, представленного на рис. 4 будет иметь следующий вид:

$$\frac{\partial^2 M_x}{\partial x^2} + 2 \frac{\partial^2 M_{xz}}{\partial x \partial z} + \frac{\partial^2 M_z}{\partial z^2} = -p \quad (1)$$

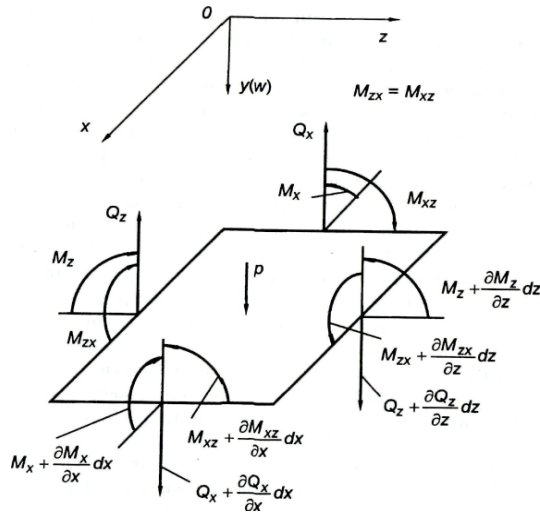


Рис.4 Силовые факторы, действующие на элемент анизотропной пластины

Моменты M_x , M_z , M_{xz} связаны с прогибом $w(x,z)$ срединной поверхности анизотропной пластины следующими соотношениями:

$$\begin{aligned}
 M_x &= -\left(D_{11} \frac{\partial^2 w}{\partial x^2} + D_{12} \frac{\partial^2 w}{\partial z^2} + 2D_{16} \frac{\partial^2 w}{\partial x \partial z} \right) \\
 M_z &= -\left(D_{12} \frac{\partial^2 w}{\partial x^2} + D_{22} \frac{\partial^2 w}{\partial z^2} + 2D_{26} \frac{\partial^2 w}{\partial x \partial z} \right) \\
 M_{xz} &= -\left(D_{16} \frac{\partial^2 w}{\partial x^2} + D_{26} \frac{\partial^2 w}{\partial z^2} + 2D_{66} \frac{\partial^2 w}{\partial x \partial z} \right)
 \end{aligned} \quad (2)$$

где D_{ij} – изгибные жесткости анизотропной пластины ($i, j=1,2,6$).

Граничные условия пластины при различных вариантах крепления следующие:

1. Край пластины ($x=0$) защемлен. Прогиб и угол поворота в точках края равняются нулю:

$$\begin{aligned}
 (w)_{x=0} &= 0 \\
 \left(\frac{\partial w}{\partial x} \right)_{x=0} &= 0
 \end{aligned} \quad (3)$$

2. Край пластины ($x=a$) свободно оперт. Прогиб и изгибающий момент равны нулю:

$$\begin{aligned}
 (w)_{x=a} &= 0 \\
 (M_x)_{x=a} &= 0
 \end{aligned} \quad (4)$$

3. Край пластины ($x=b$) свободен. По этому краю нет ни изгибающих или крутящих моментов, ни вертикальных перерезывающих сил:

$$\begin{aligned}
 (M_x)_{x=b} &= 0 \\
 (M_{xz})_{x=b} &= 0 \\
 (Q_x)_{x=b} &= 0
 \end{aligned} \quad (5)$$

Для узла поворота руля (рис.3) граничные условия имеют вид:

$$\begin{aligned} K_{\theta} \frac{\partial w}{\partial x} &= GJ_p \frac{\partial^2 w}{\partial x \partial z} \\ K_{\varphi} \frac{\partial w}{\partial z} &= EJ \frac{\partial^2 w}{\partial z^2} \end{aligned} \quad (6)$$

В общем случае для прямолинейной кромки, непараллельной осям координат (рис.5), граничные условия имеют вид:

1. При защемлении $w = 0 \quad \frac{\partial w}{\partial n} = 0$
2. При свободном опирании $w = 0 \quad M_n = 0$
3. На свободном крае $M_n = 0 \quad Q_n + \frac{\partial M_{nt}}{\partial t} = 0$

В данных соотношениях n – нормаль к рассматриваемой части контура; t – касательная к ней, совпадающая по направлению с передней кромкой.

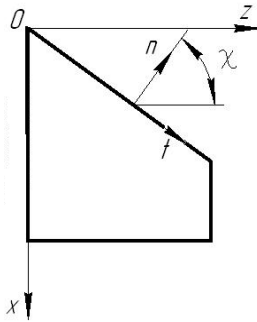


Рис.5 Система координат для стреловидной передней кромки

В этом случае моменты определяются следующими выражениями:

$$\begin{aligned} M_n &= M_x \sin^2 \chi + M_z \cos^2 \chi - 2M_{xz} \sin \chi \cos \chi \\ M_t &= M_x \cos^2 \chi + M_z \sin^2 \chi + 2M_{xz} \sin \chi \cos \chi \\ M_{nt} &= (M_z - M_x) \sin \chi \cos \chi + M_{xz} (\cos^2 \chi - \sin^2 \chi) \end{aligned}$$

С учетом деформации конструкции для крыла и руля результирующее аэродинамическое давление определяется следующими соотношениями:

$$\begin{aligned} p &= c_y^{\alpha} q (\alpha_{жс} + \varphi_y) \\ p &= c_y^{\alpha} q \alpha_{жс} \pm c_y^{\delta} q (\delta_{жс} + \varphi_y) \end{aligned} \quad (7)$$

где $c_{y\alpha}$ – производная коэффициента подъемной силы несущей поверхности по углу атаки $\alpha_{жс}$; q – скоростной напор; $\alpha_{жс}$ – угол атаки жесткой несущей поверхности (корпуса ЛА); φ_y – дополнительный угол атаки, обусловленный упругостью конструкции, $\varphi = \partial w / \partial x$; $c_{y\delta}$ – производная коэффициента подъемной силы руля по углу отклонения $\delta_{жс}$; $\delta_{жс}$ – угол отклонения жесткого руля.

Напряжения и деформации в точках конструкции связаны следующими соотношениями:

$$\begin{aligned}\sigma_x &= -\left(B_{11} \frac{\partial^2 w}{\partial x^2} + B_{12} \frac{\partial^2 w}{\partial z^2} + 2B_{16} \frac{\partial^2 w}{\partial x \partial z} \right) y \\ \sigma_z &= -\left(B_{12} \frac{\partial^2 w}{\partial x^2} + B_{22} \frac{\partial^2 w}{\partial z^2} + 2B_{26} \frac{\partial^2 w}{\partial x \partial z} \right) y \\ \tau_{xz} &= -\left(B_{16} \frac{\partial^2 w}{\partial x^2} + B_{26} \frac{\partial^2 w}{\partial z^2} + 2B_{66} \frac{\partial^2 w}{\partial x \partial z} \right) y\end{aligned}\quad (8)$$

Выражения для коэффициентов жесткости B_{ij} ($i, j=1,2,6$) имеют вид:

$$B_{11} = B_{22} = \frac{E}{1-\mu^2} \quad B_{12} = \frac{E}{1-\mu^2} \mu \quad B_{16} = B_{26} = 0 \quad B_{66} = \frac{E}{2(1+\mu)} \quad (9)$$

где E, μ – модуль упругости и коэффициент Пуассона материала.

Для получения расчетной модели напряженно-деформированного состояния конструкции НП будем использовать метод конечных разностей (МКР). В соответствии с идеей МКР:

- несущая поверхность аппроксимируется сеточной областью с N узлами, при этом для складной НП разбиение должно быть таким, чтобы линия соединения лопатки и вилки проходила через узлы сеточной области (рис.6);
- для каждого узла сеточной области расписывается в конечных разностях через прогибы уравнение равновесия (1) или соответствующее граничное условие (3) — (6), решается система алгебраических уравнений относительно прогибов в узлах сеточной области;
- определяются напряжения в узлах сетки по соотношениям (8), записанным в конечно-разностной форме.

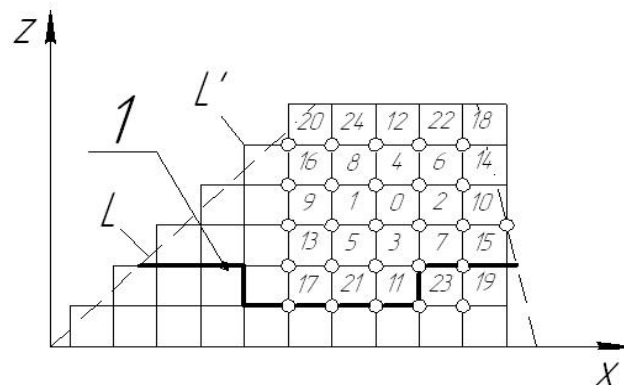


Рис.6 Сеточная область, аппроксимирующая несущую поверхность
(1 – линия соединения лопатки и вилки НП)

Известно, что производные некоторой функции $F(x,z)$, дифференцируемой в области L (рис. 6), аппроксимируемой областью L' с прямоугольной сеткой с шагом Δx , Δz , можно выразить через значения самой функции в узловых точках сеточной области. Так, основные производные с точностью порядка Δx^2 , Δz^2 в точке 0 (рис. 6) имеют следующий вид:

$$\begin{aligned} \left(\frac{\partial F}{\partial x}\right)_0 &= \frac{1}{2\Delta x}(F_2 - F_1) \\ \left(\frac{\partial F}{\partial z}\right)_0 &= \frac{1}{2\Delta z}(F_4 - F_3) \\ \left(\frac{\partial^2 F}{\partial x^2}\right)_0 &= \frac{1}{\Delta x^2}(F_1 - 2F_0 + F_2) \\ \left(\frac{\partial^2 F}{\partial z^2}\right)_0 &= \frac{1}{\Delta z^2}(F_3 - 2F_0 + F_4) \\ \left(\frac{\partial^2 F}{\partial x \partial z}\right)_0 &= \frac{1}{4\Delta x \Delta z}(F_5 + F_6 - F_7 - F_8) \end{aligned} \quad (10)$$

Следует отметить, что передача усилий от лопатки к вилке НП в месте соединения осуществляется не на всей длине хорды (рис. 7). В дальнейшем при составлении системы уравнений для незаштрихованных узлов на рис. 7 применяются ГУ свободного края пластины, заштрихованные узлы рассматриваются как центральные.

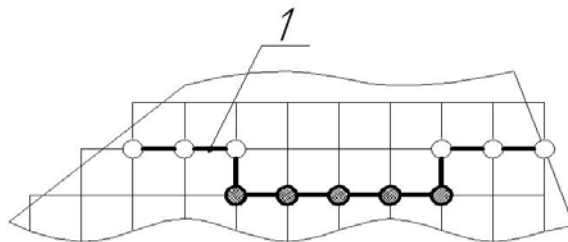


Рис.7 Определение граничных условий в соединении лопатки и вилки НП
(1 – линия соединения лопатки и вилки НП)

Расписывая уравнение равновесия (1) с учетом граничных условий (3)-(6) и группируя коэффициенты при неизвестных, получим систему линейных алгебраических уравнений порядка N (N -число узлов сеточной области, в которых записаны уравнения равновесия):

$$\begin{aligned} c_{11}w_1 + c_{12}w_2 + \dots + c_{1N}w_N &= P_1 \\ c_{21}w_1 + c_{22}w_2 + \dots + c_{2N}w_N &= P_2 \\ \dots & \\ c_{N1}w_1 + c_{N2}w_2 + \dots + c_{NN}w_N &= P_N \end{aligned} \quad (11)$$

В матричном виде:

$$CW = P \quad (12)$$

где C – матрица жесткости конструкции; W – вектор прогибов; P – вектор нагрузок.

Определив прогибы конструкции, находим напряжения σ_x , σ_z , τ_{xz} , действующие в узлах сеточной области, по формулам (8), записанным в конечно-разностной форме. По соотношениям (8) можно определить напряжения, действующие в любой точке конструкции НП. Однако для нахождения напряжений в точках на свободном контуре требуется предварительное знание прогибов в близлежащих законтурных точках. Прогибы в этих точках можно получить с помощью экстраполяции кубическим сплайном [2].

После чего определяются эквивалентные напряжения. Для обеспечения статической прочности конструкции НП необходимо, чтобы эквивалентные напряжения $\sigma_{эквk}$ в узлах сеточной области не превышали допустимое с точки зрения прочности напряжение.

$$\sigma_{эквk} \leq \sigma_{доп}, k = 1, 2, \dots, N_k \quad (13)$$

Определение частот и форм собственных колебаний.

Дифференциальное уравнение свободных колебаний анизотропной пластины переменной толщины, схематизирующей конструкцию НП, имеет вид:

$$\frac{\partial^2 M_x}{\partial x^2} + 2 \frac{\partial^2 M_{xz}}{\partial x \partial z} + \frac{\partial^2 M_z}{\partial z^2} - m(x, z) \frac{\partial^2 w(x, z, t)}{\partial t^2} = 0 \quad (14)$$

где $m(x, z)$ – функция распределения масс пластины; $w(x, z, t)$ – динамический прогиб пластины; M_x , M_z , M_{xz} – моменты, связанные с прогибом $w(x, z, t)$ соотношениями (2); t – время.

Приведенное выше уравнение свободных колебаний можно получить из уравнения равновесия (1) подстановкой динамического прогиба (15) и инерционной нагрузки (16).

$$w(x, z, t) = \bar{w}(x, z) e^{j\omega t} \quad (15)$$

$$p_{ин} = -m(x, z) \frac{\partial^2 w(x, z, t)}{\partial t^2} \quad (16)$$

где ω , $\bar{w}(x, z)$ – частота и форма собственных колебаний.

С учетом соотношения (15) выражение для нагрузки (16) можно преобразовать к виду:

$$p_{ин} = \omega^2 m(x, z) \bar{w}(x, z) e^{j\omega t} \quad (17)$$

Используя метод конечных разностей и сосредоточив распределенную массу пластины в узлах сеточной области (рис. 6), дифференциальное уравнение свободных колебаний (14) можно представить в виде системы конечно-разностных алгебраических уравнений порядка N :

Комплексные частоты S_n определяются из системы (28) методом парабол.

Исследование аэроупругой устойчивости конструкции НП заключается в анализе поведения комплексных частот S_n в зависимости от скорости V . Относительное равновесие НП в потоке устойчиво, пока все коэффициенты затухания δ_n отрицательны:

$$\delta_n < 0, n = 1, 2, \dots, N \quad (29)$$

Наименьшее значение скорости V , начиная с которого хотя бы один коэффициент затухания $\delta_l (l \in N)$ меняет знак, является критическим. Смена знака у коэффициента затухания δ_l означает потерю устойчивости конструкцией. Характер неустойчивости при этом может быть как статическим ($\omega_l = 0$ – дивергенция, рис. 8,а), так и динамическим ($\omega_l \neq 0$ – флаттер, рис. 8,б). Следует отметить, что на практике ограничиваются исследованием нескольких низших тонов колебаний. Конструкция НП должна обладать 1,2-кратным запасом по критической скорости флаттера $V_{кр. фл}$ (дивергенции $V_{кр. див}$).

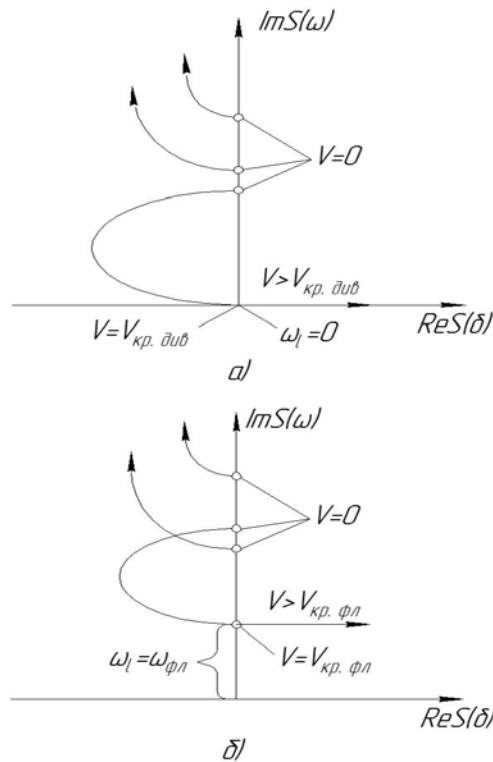


Рис.8 Характер связи между параметрами комплексной частоты и скоростью
(а – статическое поведение конструкции; б – динамическое поведении конструкции)

Представленная выше математическая модель позволяет определить характеристики ЭТР НП. Далее следует осуществить переход от эталона к КТР, для чего используют оптимизационную процедуру идентификации. В данной процедуре есть только геометрические ограничения на варьируемые параметры КТР, поэтому она обладает высоким быстродействием. В рамках оптимизационной процедуры идентификации КТР и

ЭТР реализуется интерактивный поиск рациональной структуры НП с учетом трудноформализуемых требований технологического и эксплуатационного характера.

Следует отметить, что при получении ЭТР НП рассматривается один вариант механизма раскладки и способа фиксации лопатки, следовательно, он будет применен во всех рассматриваемых КТР. В случае, когда необходимо определить характеристики КТР НП с различными механизмами и способами фиксации, задачу структурно-параметрической оптимизации следует решать для каждого из вариантов, т.е. получить рациональные КТР для каждого ЭТР, а затем произвести их сравнение.

С целью проверки корректности удовлетворения КТР, полученных в результате решения задачи идентификации, функциональным ограничениям проводят параметрическую оптимизацию данных КТР.

Заключительным этапом решения задачи структурно-параметрической оптимизации является выбор рационального КТР НП. Этот выбор делают на основе оценки конструктивного и технологического совершенства КТР, полученных в результате решения оптимизационной задачи идентификации, с применением экспертного метода – метода анализа иерархий.

На основе представленных моделей, сформированных с учетом ограничений прочности, аэроупругой устойчивости и конструктивных особенностей складной несущей поверхности, строится алгоритм, который позволит определить оптимальный закон распределения массово-инерционных и жесткостных характеристик НП с точки зрения минимума массы.

Библиографический список

1. Парафесь С.Г. Методы структурно-параметрической оптимизации конструкции беспилотных летательных аппаратов. – М.: МАИ-Принт, 2009. – 316 с.
2. Калиткин Н.Н. Численные методы. – М.: Наука, 1978. – 512 с.

НЕДЕЛИН Владислав Геннадьевич, инженер-конструктор

ОАО «Долгопрудненское научно-производственное предприятие»; аспирант

Московского авиационного института (национального исследовательского университета),

тел.: +7 (926) 901-04-26; e-mail: nedelinv@rambler.ru